

COMPANHIA DE PESQUISA DE RECURSOS MINERAIS
DIRETORIA DA ÁREA DE PESQUISAS
SUPERINTENDÊNCIA DE RECURSOS MINERAIS
DEPARTAMENTO DE PESQUISA MINERAL

ESTUDOS PRELIMINARES
DE BENEFICIAMENTO DE MINÉRIO
DE COBRE DO PROJETO CURAÇÁ

PHL 13702

CD	DITEMI
CPRM	I - 96
ACQUIVO TÉCNICO	
Relatório n.º	673-S
N.º de vers. mês	1-5 V.

DIVISÃO DE TECNOLOGIA MINERAL

- DITEMI -

ESTUDOS PRELIMINARES
DE BENEFICIAMENTO DO MINÉRIO
DE COBRE DO PROJETO CURAÇÁ

Adão Benvindo da Luz ✓
Francisco Wilson H. Vidal ✓
José Farias de Oliveira ✓
Ney Hamilton Porphírio ✓
Túlio Hernan Araya Luco ✓

Í N D I C E

RESUMO	1
1- INTRODUÇÃO	3
2- PREPARAÇÃO DA AMOSTRA	5
3- CARACTERIZAÇÃO PETROGRÁFICA	7
4- CARACTERIZAÇÃO QUÍMICA E MINERALÓGICA	10
4.1 - Estudo de Liberação	11
4.2 - Estudo de Moagem	16
4.3 - Estudo da Composição Mineralógica	19
5- ENSAIOS DE FLOTAÇÃO	24
5.1 - Material e Método	24
5.2 - Resultados Obtidos	25
5.3 - Conclusões	27
BIBLIOGRAFIA	

I N D I C E
F I G U R A S E T A B E L A S

FIG. 1 - Fluxograma utilizado na preparação da amostra	6
FIG. 2 - Fotomicrografia de Lâmina Delgada	9
FIG. 3 - Fotomicrografia de Lâmina Delgada	9
FIG. 4 - Histograma da distribuição de cobre nas diversas faixas granulométricas	13
FIG. 5 - Curva da distribuição de cobre nas diversas granulometrias	14
FIG. 6 - Distribuição do minério de cobre em função do tempo de moagem	18
FIG. 7 - Fluxograma simplificado da preparação da amostra para estudo mineralógico	20
FIG. 8 - Fluxograma da flotação, em 2 estágios	26
FIG. 9 - Fluxograma da flotação dos sulfetos em 3 estágios	35
TAB. 1 - Resultados da distribuição da % Cu total nas diversas frações granulométricas	12
TAB. 2 - Resultados dos ensaios densimétricos referentes às diversas frações granulométricas	15

TAB. 3 - Resultados obtidos nos testes de moagem	17
TAB. 4 - Composição mineralógica da amostra do <u>mi</u> nério de cobre (Projeto Curaçá)	22
TAB. 5 - Composição mineralógica do Produto C (<u>Sul</u> fetos), obtido através do roteiro apresen <u>tado</u> na Fig. 7.	23
TAB. 6 - Ensaios de flotação realizados com coleto <u>r</u> res isopropil xantato de potássio e etil xantato de sódio, em diferentes condições.	28
TAB. 7 - Ensaios de flotação realizados com coletor Z-200, em diferentes condições	29
TAB. 8 - Ensaios de flotação realizados com coletor Minerec, em diferentes condições	30
TAB. 9 - Balanço metalúrgico do teste nº 4 da Tabela 6.	31
TAB.10 - Balanço metalúrgico do teste nº 7 da Tabela 7.	31
TAB.11 - Balanço metalúrgico do teste nº 6 da Tabela 7.	32
TAB.12 - Balanço metalúrgico do teste nº 7 da Tabela 8.	32
TAB.13 - Balanço metalúrgico do teste nº 3 da Tabela 8.	33
TAB.14 - Balanço metalúrgico do teste nº13 da Tabela 8.	33

TAB. 15 - Resultados dos ensaios de flotação sequencial em intervalos de tempo de 1/2, 1, 2 e 4 minutos. 34

TAB. 16 - Resultados dos ensaios de flotação em três estágios. 36

RESUMO

Como etapa preliminar do presente trabalho foram realizados estudos de caracterização química e mineralógica, que definiram os principais constituintes do minério e o grau de liberação dos sulfetos de cobre. A seguir, foram realizados estudos visando a definir os parâmetros básicos para sua concentração por flotação.

A análise química, da amostra média recebida revelou um teor de 0,66% Cu. Deste total, o cobre oxidado atinge cerca de 0.07% Cu, sendo, portanto, de 0.59% Cu o teor de cobre proveniente de sulfetos.

Os estudos mineralógicos revelaram como principais sulfetos presentes, os seguintes: bornita, calcocita, calcopirita, covelita e pirita. Além da pirita, os principais minerais de ganga são: piroxenio, biotita, feldspato e magnetita. Foi determinada a composição percentual dos minerais, bem como a granulometria de liberação do cobre.

Com base nos resultados obtidos na caracterização do minério, foi estabelecida uma programação para os estudos preliminares de beneficiamento por flotação. Diferentes sistemas de reagentes foram estudados pa-

cont.

ra o tratamento do minério em questão. Entre outros foram testados: isópropil xantato, etil xantato, Z-200 e Mine-rec como coletores; óleo de pinho e Dow-froth como espumante. Como reagente depressor, o silicato de sódio foi testado em diferentes concentrações.

Os resultados dos ensaios realizados, a presentaram para o produto obtido mediante uma reflocação do concentrado, um teor de 16% Cu com uma recuperação de 70%. Com uma segunda reflocação, foi possível atingir-se um teor de 23% Cu com uma recuperação de 56%. No sentido de verificar-se a influência das cargas circulantes seria no entanto, recomendável o estudo da concentração do minério em escala contínua. Um cálculo aproximado levando- se em consideração a recirculação dos mistos indica que, de fato, a recuperação poderia atingir 73%, na obtenção de um concentrado com 23% Cu.

cont.

1 - INTRODUÇÃO

Em atendimento à solicitação do Memo nº 0945/DEPEP/76 foram empreendidos os estudos objeto do presente relatório, referente aos ensaios preliminares de beneficiamento do minério de cobre do Projeto Curaçá.

A amostra recebida pela DITEMI foi da ordem de 107 kg, sendo constituída de testemunhos de sondagem, e, segundo o Memo 1957/SUREG/SA/76, proveniente dos furos:

2136/CA/04/BA	27,50 kg
2136/CA/15/BA	38,50 kg
2136/CA/24/BA	41,50 kg

Como é frequente acontecer em qualquer trabalho de pesquisa, os estudos de caracterização do minério apresentaram complexidade maior que a prevista inicialmente. A alta percentagem de hiperstênio, biotita e magnetita, tornou necessário um tratamento específico para a separação dos diferentes constituintes do minério visando a definição de suas percentagens. Outro aspecto envolvido, no que se refere aos ensaios de concentração propriamente ditos, foi o teor do minério, bastante inferior ao que se supunha inicialmente.

cont.

No entanto, os resultados conseguidos podem ser considerados bons, e com a implantação de um complexo industrial em Caraibas, não deverá haver dificuldade na comercialização dos produtos com as características dos obtidos nos ensaios realizados.

cont.

2 - PREPARAÇÃO DA AMOSTRA

Após recebimento do minério, tomou-se inicialmente algumas amostras de rocha, por furos, para estudos petrográficos. A seguir, toda a amostra restante foi britada e quarteada sequencialmente de acordo com o procedimento adotado que encontra-se esquematizado na Figura 1. Desta forma, o minério proveniente dos três furos de sondagens foi reunido numa única amostra, e britado a $1/2"$. O produto dessa britagem foi homogeneizado e quartead, sendo cerca de 75 kg reservados para arquivo ou tes tes posteriores, e o restante, cerca de 25 kg, britado a - 10 malhas (1.65 mm). Com este material foi em seguida preparada uma pilha de homogeneização, da qual foram retomadas alíquotas de 1 kg, destinadas aos estudos de caracterização química, mineralógica e ensaios de concentração.

Este procedimento permitiu ter-se boa reprodutibilidade quanto ao teor das diferentes alíquotas, como foi comprovado pela análise química de algumas delas, tomadas aleatoriamente.

cont.

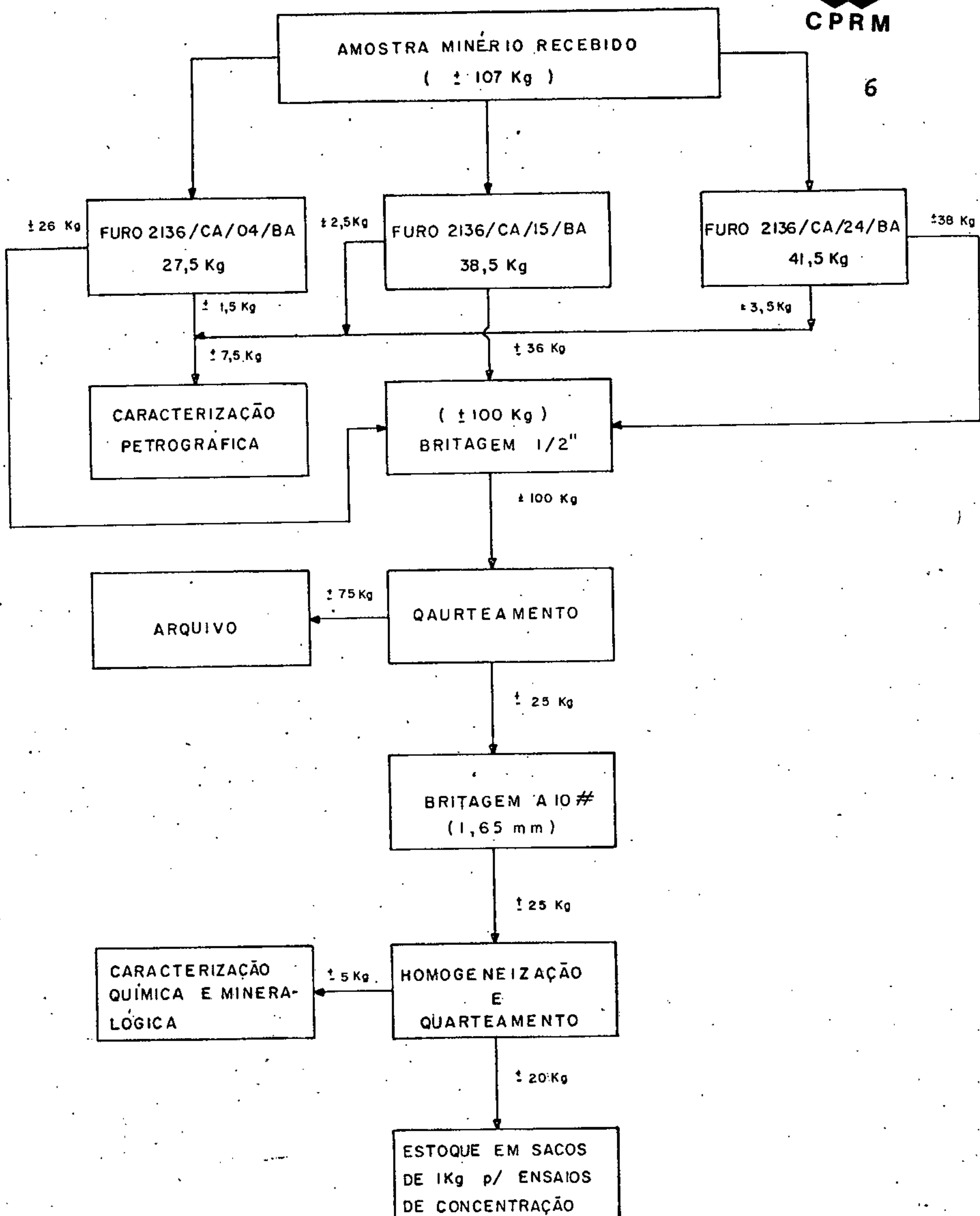


Fig.1: Fluxograma utilizado na preparação da amostra.

3 - CARACTERIZAÇÃO PETROGRÁFICA

Nos estudos petrográficos, em lâminas delgadas, foram identificadas rochas básicas e ultrabásicas, classificadas como sendo dos tipos dioritos, gabros noríticos, piroxenitos e serpentinitos. Além destas, foi identificada também uma rocha gnaissificada, de composição tonalítica que é uma variedade de diorito enriquecido por minerais de quartzo.

Os minerais constituintes dessas rochas mineralizadas em cobre, observados em lâmina delgada, exibem boas características óticas e inclusive alguns típicos fenômenos de alterações. O hiperstênio, mineral mais abundante, ocorre em formas irregulares, com um pleocroismo marcante de esverdeado a róseo-salmão, apresentando alterações para serpentina (Fig. 2). Entre os principais minerais de ganga encontram-se também o feldspato e a biotita, presentes em elevada proporção.

Os grãos de opacos que aparecem nas lâminas delgadas foram estudados, à parte, por processos calcográficos, sendo em sua maioria sulfetos de cobre (boronita, calcocita e calcopirita) e magnetita.

Quanto as associações mineralógicas envolvendo os minerais opacos, e particularmente os sulfetos

cont.

de cobre, observa-se que os mesmos estão associados ao hiperstênio e biotita (Fig. 3). A bornita e a calcopirita ocorrem em cristais xenomórficos e estão intimamente associados.

cont.

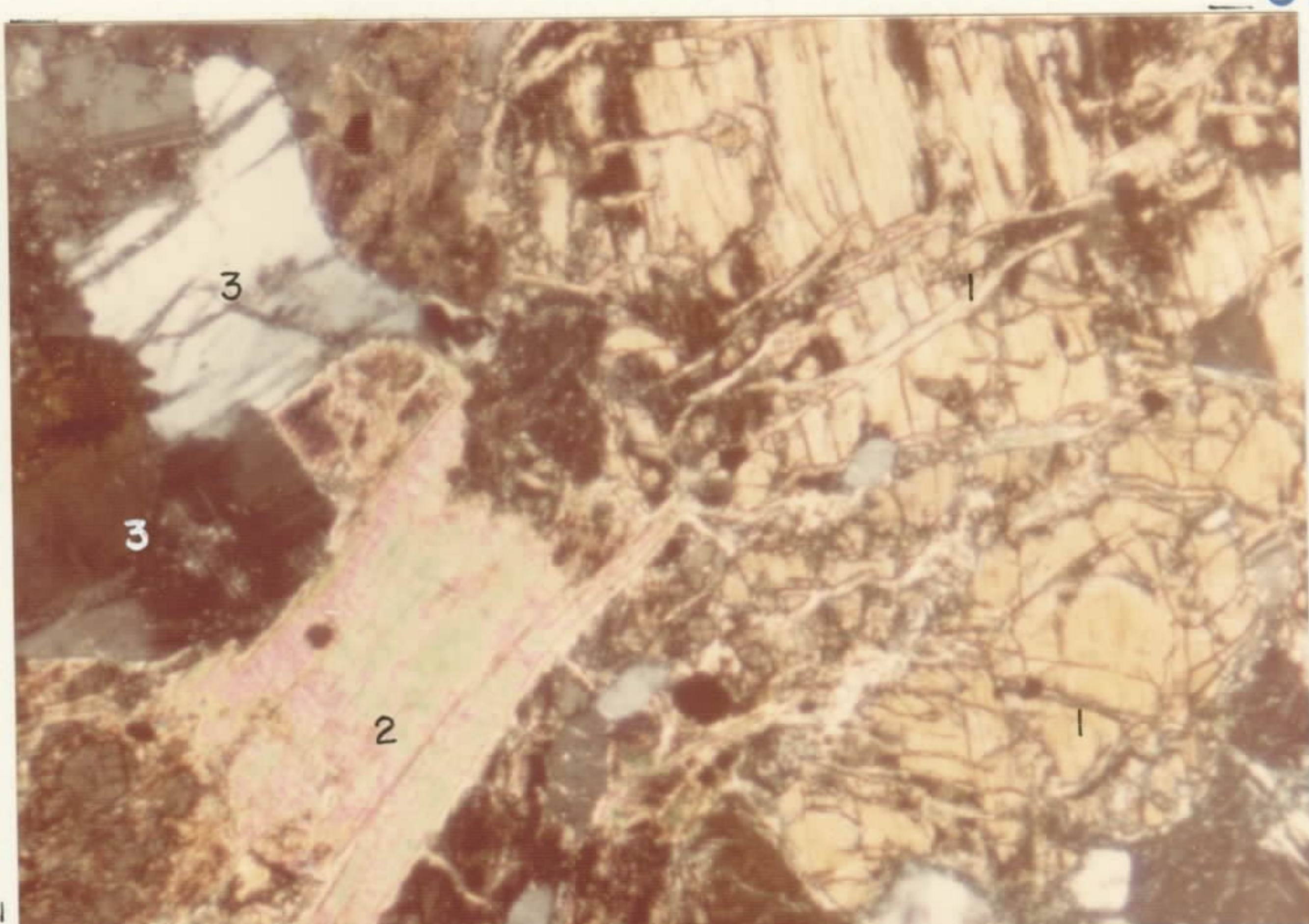


FIGURA 2. - FOTOMICROGRAFIA DE LÂMINA DELGADA (Nicol Cruzado, 15,6 X)

- 1. Hiperstênio com alterações para serpentina.
- 2. Hiperstênio com alterações para biotita.
- 3. Plagioclássio.

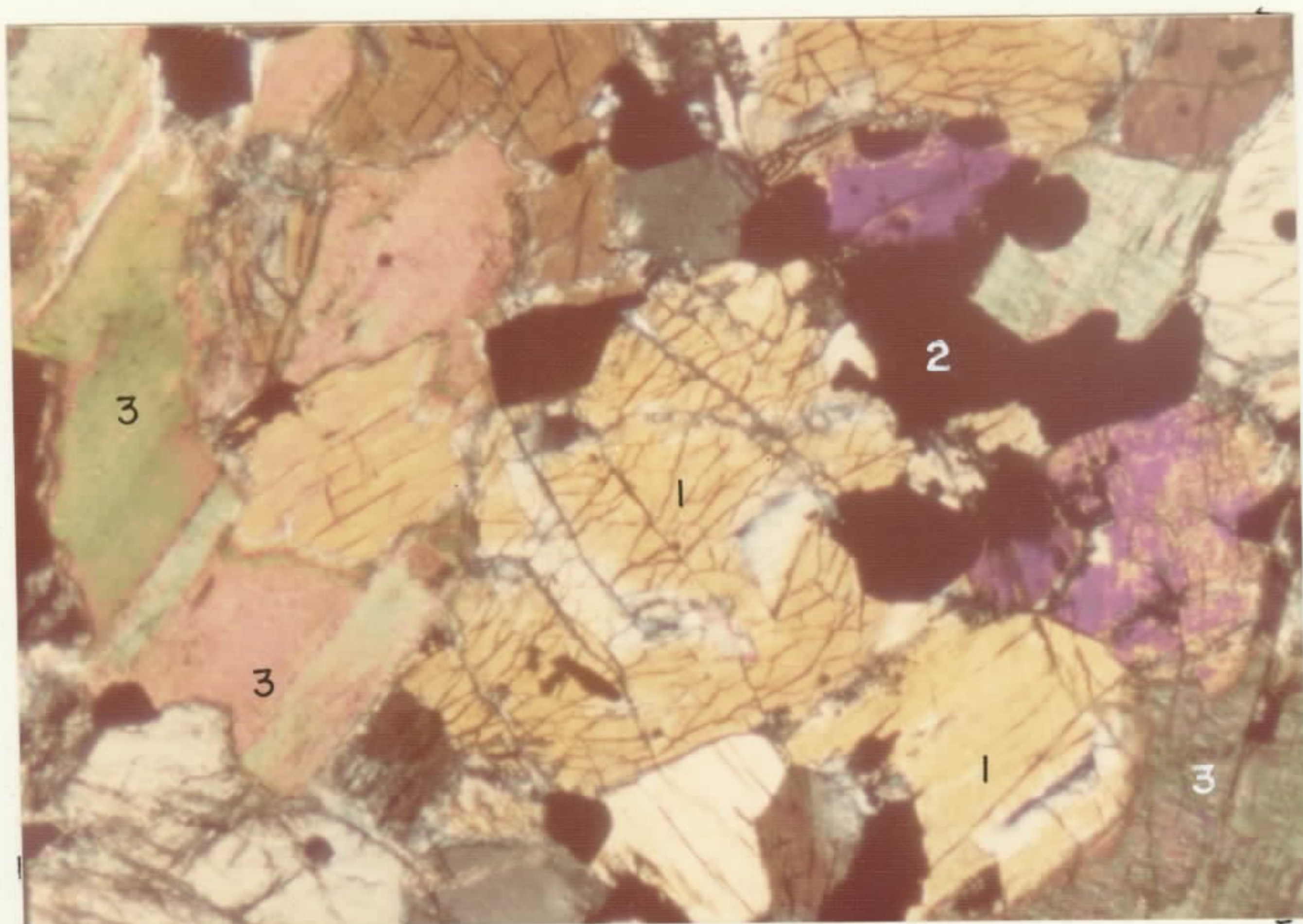


FIGURA 3. - FOTOMICROGRAFIA DE LÂMINA DELGADA (Nicol Cruzado, 15,6 X)

- 1. Hiperstênio.
- 2. Opacos.
- 3. Biotita.

cont.

4 - CARACTERIZAÇÃO QUÍMICA E MINERALÓGICA

Visando aos estudos preliminares de beneficiamento de minério, procedeu-se inicialmente a sua caracterização química e mineralógica. Uma amostra de 5,0 kg foi quarteada (Fig. 1) em alíquotas de aproximadamente 2,5 kg, sendo uma para os estudos de liberação e composição mineralógica, e a outra para estudos de moagem.

Com relação à amostra média do minério ("head sample") as análises químicas realizadas no LAMIN (Boletim 252/LAMIN/77) apresentaram respectivamente um teor de 0,66 % de Cu total, com cerca de 0,07% de Cu oxidado. Estes resultados foram posteriormente confirmados com uma análise solicitada à Supervice que revelou um teor de 0,61% Cu total. Desta forma considerando que apenas o cobre proveniente dos sulfetos seria recuperado por flotação, teríamos um minério com apenas 0,59% Cu, com base na análise efetuada no LAMIN.

Na parte referente à caracterização mineralógica, estudou-se o grau de liberação, distribuição de cobre nas diversas frações granulométricas e tempo de moagem. A partir desses resultados procedeu-se ao estudo da composição mineralógica, após moagem do minério a uma granulometria de liberação que permitisse a separação das diversas espécies minerais.

cont.

4.1 - Estudo de Liberação

Com o objetivo de quantificar a distribuição percentual de cobre nas diversas frações granulométricas, foi utilizada uma amostra de 2 kgs após britagem a 28 malhas. Após deslamagem em peneira de 200 malhas; a fração maior que 200 malhas foi peneirada a seco, utilizando a Série Tyler.

A Tabela 1 mostra a distribuição granulométrica percentual de cobre em cada fração. Pode observar-se que as frações finas apresentam-se mais ricas. Nas Figuras 4 e 5, essa distribuição é apresentada em histograma e curva de valores acumulados.

Subsequentemente, cada fração granulométrica foi submetida a uma separação densimétrica em bromoformio e iodeto de metileno. As análises químicas dos diversos produtos obtidos estão apresentados na Tabela 2. Observa-se que na fração - 65 + 100 malhas tem-se cerca de 80% de cobre no produto de densidade > 3.3 , os 20% restantes permaneceram nos produtos de menor densidade obviamente por não estarem suficientemente liberados. Para as frações granulométricas - 100 + 150 e - 150 + 200, os produtos de densidade > 3.3 , contém respectivamente, 93,7% e 97,2% de cobre presente na fração. Estes dados são uma indicação de uma liberação razoável para o produto moído a - 100 malhas. Observações microscópicas confirmaram es-

cont.

MAIAS	PESO (%)		Cu TOTAL (%)	DISTRIBUIÇÃO DA % Cu	
	PARCIAL	RETIDO		PARCIAL	ACUMULADO
+ 28	3,12	3,12	0,48	2,26	2,26
+ 35	23,76	26,88	0,55	19,81	22,07
+ 48	12,91	39,79	0,53	10,38	32,45
+ 65	9,24	49,03	0,54	7,57	40,02
+ 100	15,30	64,33	0,47	10,91	50,93
+ 150	8,46	72,79	0,74	9,49	60,42
+ 200	8,12	80,91	0,84	10,34	70,76
- 200	19,09	100,00	1,01	29,24	100,00
ALIMENTAÇÃO	100,00	-	0,66 *	100,00	-

Tabela 1 - Resultados da distribuição da % Cu total nas diversas frações granulométricas. * Valor Calculado.

cont.

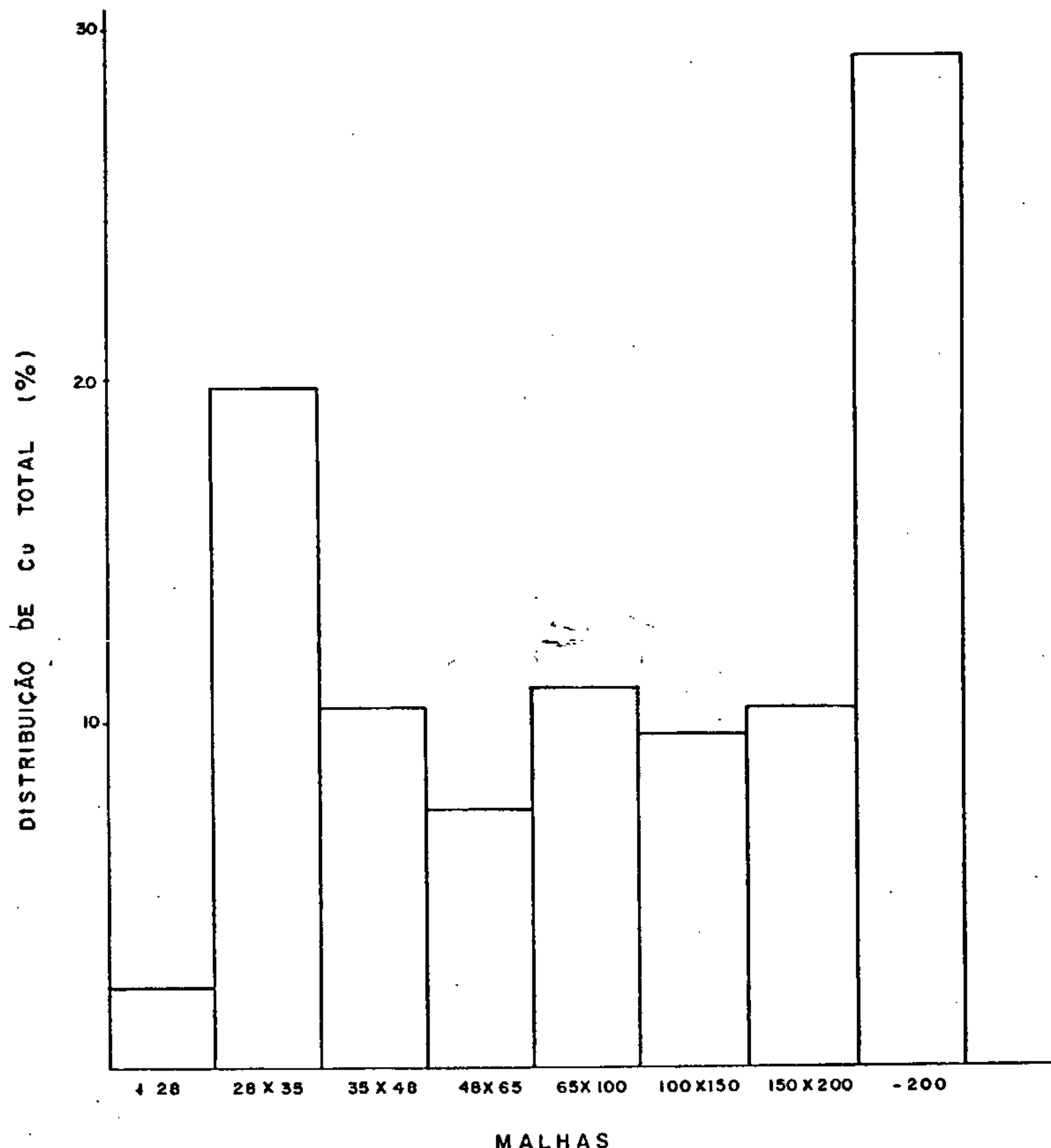


Fig. 4: Histograma da distribuição de cobre nas diversas faixas granulométricas .

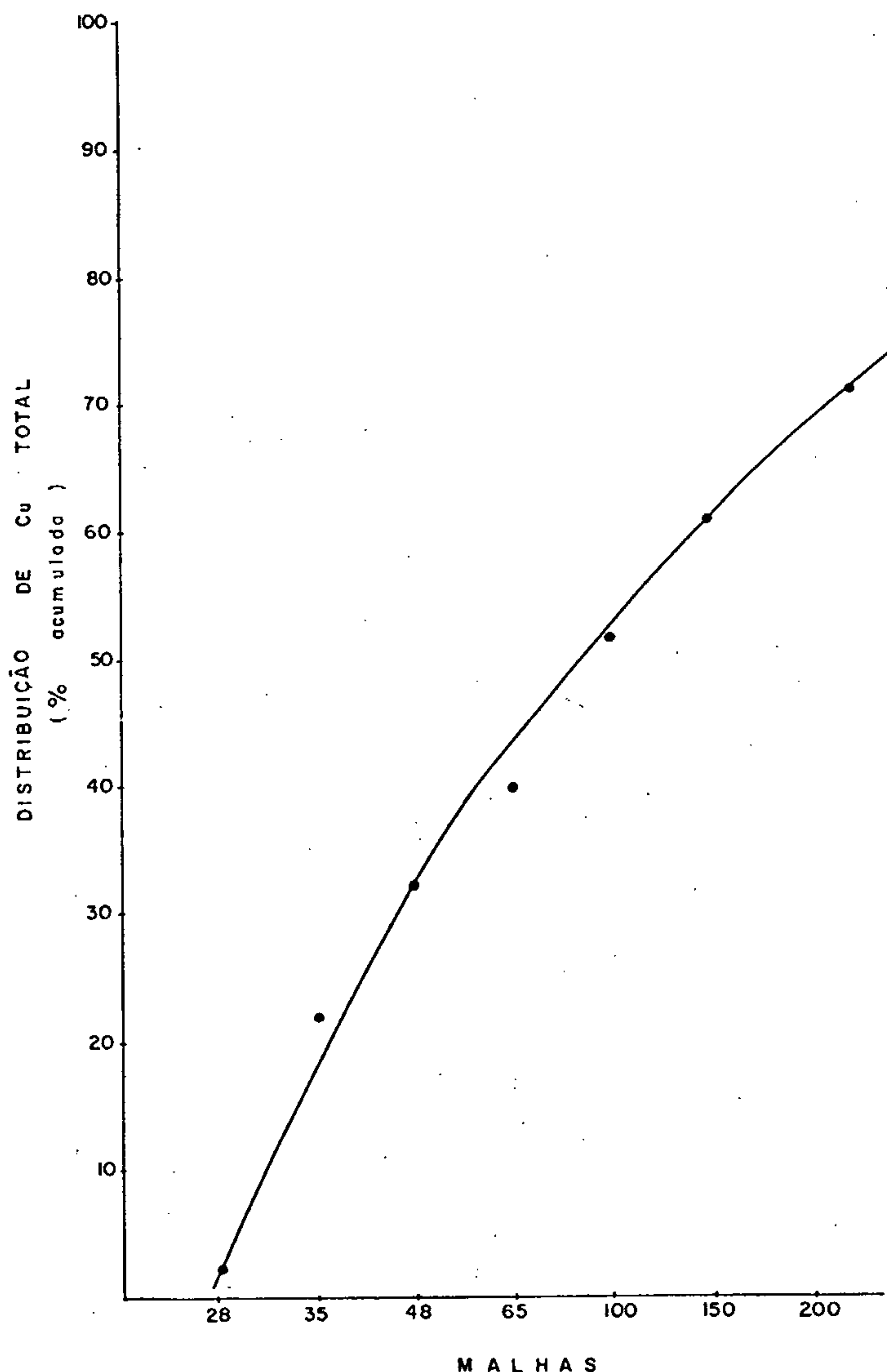


Fig. 5: Curva da distribuição de cobre nas diversas granulometrias.

15

MALHAS	PESO (%)	DENSIDADE	PESO (%)	CU TOTAL (%)	% CU DISTRIBUIÇÃO	% CU CALCULADO
+ 28	3,12	< 2,8	11,78	0,10	2,44	0,48
		2,8 - 3,3	39,20	0,50	40,73	
		> 3,3	48,94	0,56	56,63	
		-	100,00	0,48 *	100,00	
+ 35	23,76	< 2,8	8,69	0,09	1,43	0,55
		2,8 - 3,3	32,74	0,57	34,19	
		> 3,3	58,57	0,60	64,38	
		-	100,00	0,55 *	100,00	
+ 48	12,91	< 2,8	8,94	0,08	1,36	0,53
		2,8 - 3,3	22,76	0,52	22,40	
		> 3,3	68,30	0,59	76,24	
		-	100,00	0,53 *	100,00	
+ 65	9,24	< 2,8	11,39	0,10	2,13	0,54
		2,8 - 3,3	17,67	0,56	18,47	
		> 3,3	70,94	0,60	79,40	
		-	100,00	0,54 *	100,00	
+ 100	15,30	< 2,8	10,33	0,09	1,54	0,60
		2,8 - 3,3	21,28	0,54	19,06	
		> 3,3	68,39	0,70	79,40	
		-	100,00	0,60 *	100,00	
+ 150	8,46	< 2,8	8,64	0,06	0,68	0,76
		2,8 - 3,3	9,41	0,45	5,57	
		> 3,3	81,95	0,87	93,75	
		-	100,00	0,76 *	100,00	
+ 200	8,12	< 2,8	1,84	0,10	0,22	0,81
		2,8 - 3,3	5,61	0,36	2,50	
		> 3,3	92,55	0,85	97,28	
		-	100,00	0,81 *	100,00	
- 200	19,09	-	-	1,01	-	1,01
"HEAD SAMPLE"	100,00	3,25	-	0,65	100,00	-
ALIMENTAÇÃO	100,00	-	-	-	100,00	0,68

Tabula 2 - Resultados dos ensaios densimétricos referentes às diversas frações granulométricas.

* Valor calculado.

ta observação. Dada, porém, a presença de grãos ainda mistos neste produto, observou-se que seria recomendável uma moagem até pelo menos 80% - 150 malhas, nos ensaios de concentração subsequentes.

4.2 - Estudo de Moagem

Objetivando determinar o tempo de moagem necessário para atingir a malha de liberação, foram executados, em escala de laboratório, 6 (seis) testes de moagem em diferentes tempos e realizadas análises granulométricas dos produtos obtidos. A Tabela 3 apresenta a percentagem do material, passante e retida, nas diversas peneiras mencionadas, para os diferentes tempos de moagem. Foi utilizado, em todos os testes de moagem, material britado a - 10 malhas.

Os testes foram executados com uma carga de 500 gramas de minério, em moinho de barras de laboratório, por períodos de 5, 10, 12, 15, 20 e 25 minutos.

As características do moinho e as condições adotadas nos testes foram as seguintes:

Dimensões internas do moinho: 15,5 cm x 30,6 cm

Número de barras: 6 de 29,5 x 2,5 cm

cont.

MALHAS	TEMPO DE MOAGEM (MINUTOS)						
	0	5	10	12	15	20	25
200	15,8 *	26,3	33,8	35,4	42,0	52,8	57,4
	(84,2)**	(73,7)	(66,2)	(64,6)	(58,0)	(47,2)	(42,6)
150	20,5	34,1	44,0	45,5	55,5	70,3	75,7
	(79,5)	(65,9)	(56,0)	(54,5)	(44,5)	(29,7)	(24,3)
100	25,9	44,2	58,5	60,6	75,2	90,3	92,8
	(74,1)	(55,8)	(41,5)	(39,4)	(24,8)	(9,7)	(7,2)
65	31,6	55,5	77,2	80,7	92,8	95,2	96,6
	(68,4)	(44,5)	(22,8)	(19,3)	(7,2)	(4,8)	(3,4)

Tabela 3 - Resultados obtidos nos testes de moagem. O tempo zero de moagem, refere-se ao minério britado à 10 malhas e utilizado como alimentação nos testes de moagem.

OBS: * % do minério passante.

** % do minério retido.

cont.

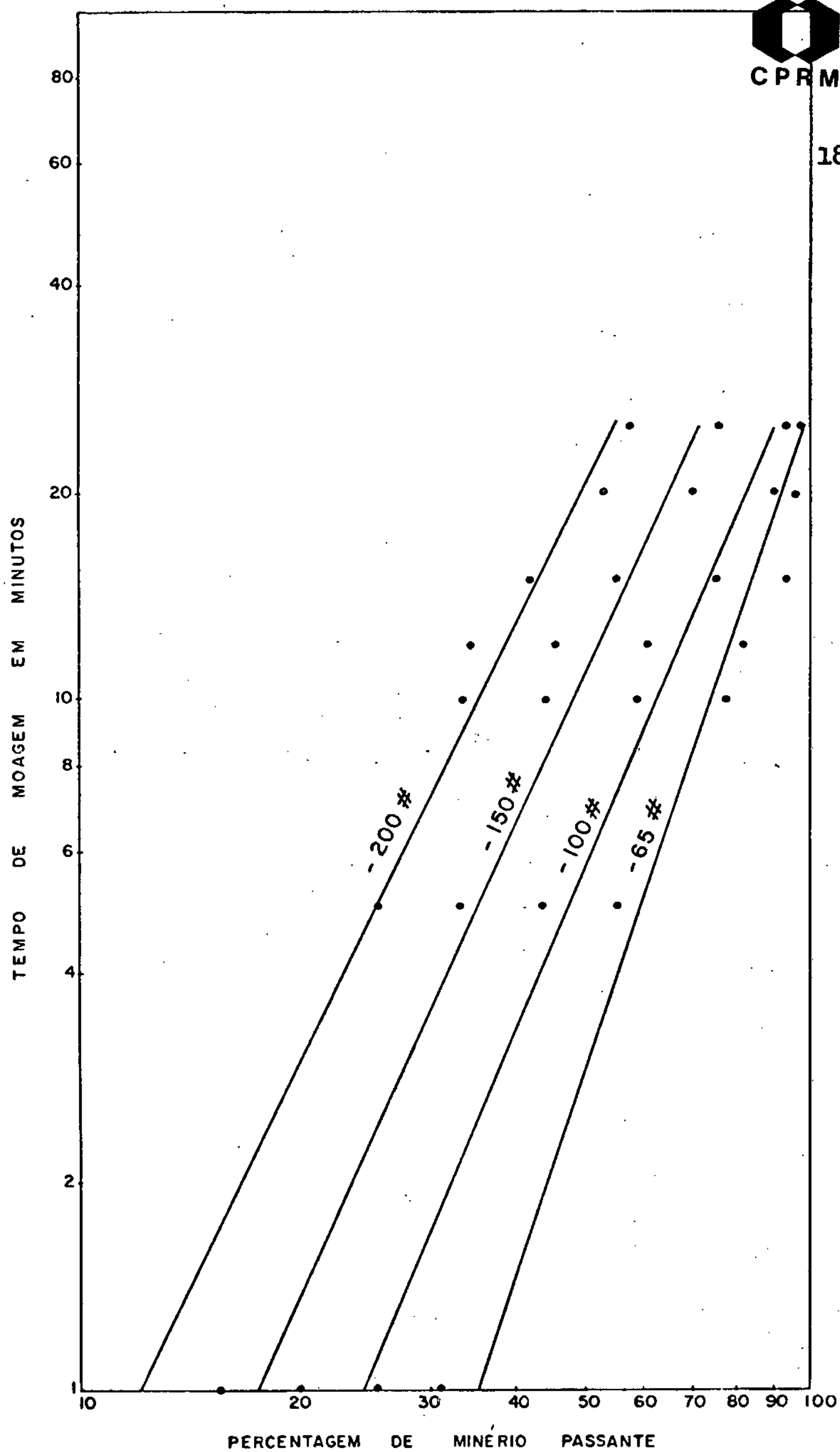


Fig. 6: Distribuição do minério de cobre em função do tempo de moagem.

Percentagem de sólido na moagem: 66,7%

Velocidade de rotação do moinho: 87 r.p.m.

A Figura 6, construída com base nos resultados da Tabela 3, mostram, em escala log-log, a relação entre a percentagem passante das diferentes malhas e o tempo de moagem. Através desse gráfico, pode-se determinar o tempo de moagem necessário para obter-se um produto de granulometria desejada. Com base nestes resultados, escolheu-se um tempo de moagem de 25 minutos para os ensaios de flotação.

4.3 - Estudo da Composição Mineralógica

Com a finalidade de determinar a composição mineralógica do minério, procedeu-se a uma moagem na granulometria de liberação, utilizando 500 gramas de amostra do minério. Após a moagem fez-se uma deslamagem em peneira de 400 malhas; a fração de granulometria maior que 400 malhas foi peneirada a seco, nas faixas granulométricas de - 65/100, 100/200 e 325/400 malhas. Cada uma destas frações foi processada de acordo com o fluxograma apresentado na Figura 7. Subsequentemente, os produtos similares foram agrupados para fins de sua determinação quantitativa.

cont.

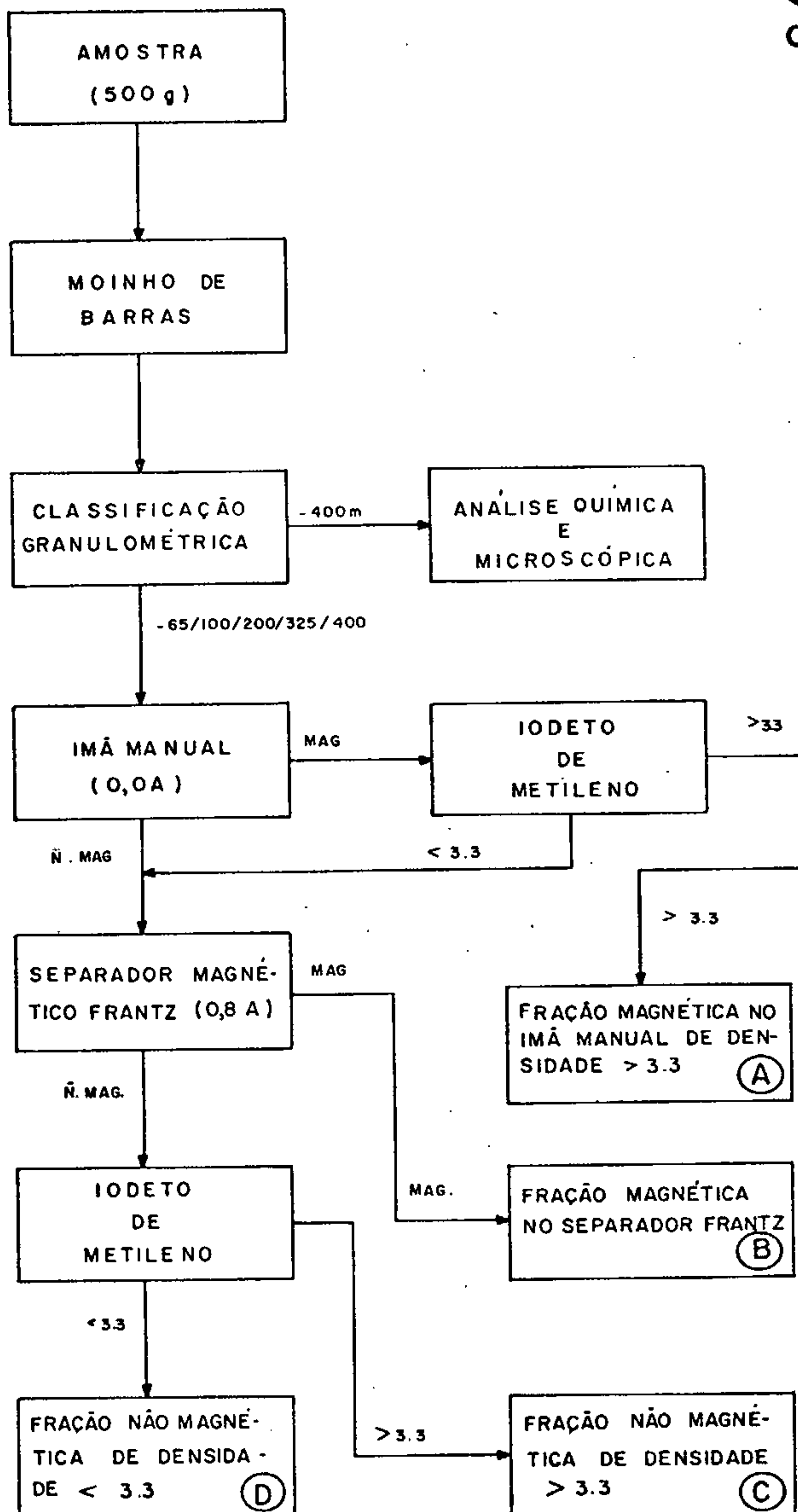


Fig. 7: Fluxograma simplificado da preparação da amostra para estudo mineralógico .

Com o procedimento descrito e apresentado no fluxograma da Figura 7, foi possível obter-se quatro produtos (A, B, C e D), com as seguintes características:

Produto A: basicamente magnetita e hiperstênio.

Produto B: basicamente biotita e hiperstênio.

Produto C: basicamente bornita, calcocita, calco
pirita e covelita.

Produto D: basicamente quartzo e feldspato.

Exames microscópicos destes produtos, isoladamente, através da contagem de pontos em lâmina de grãos e seção polida de briquetes permitiram quantificar a composição mineralógica do minério, a qual encontra-se apresentada na Tabela 4. O exame do Produto C (fração não magnética de densidade > 3.3) em luz refletida, revelou a composição mineralógica apresentada na Tabela 5.

cont.

COMPOSIÇÃO DO MINÉRIO	PESO %
Piroxênio	53,0
Biotita	19,0
Feldspato	15,0
Magnetita	10,0
Quartzo	1,0
Sulfetos de Cobre	1,0
Outros (pirita, zircão, serpentina, etc.)	1,0

Tabela 4 - Composição mineralógica da amostra do mi
nério de cobre (Projeto Curaçá).

cont.

PRODUTO C (SULFETOS)	PESO %
Bornita	44,7
Calcocita	41,0
Calcopirita	7,3
Covelita	4,0
Pirita	3,0

Tabela 5 - Composição mineralógica do Produto C (sulfetos), obtido através do roteiro apresentado na Figura 7.

cont.

5 - ENSAIOS DE FLOTAÇÃO

5.1 - Material e Método

Para os ensaios de flotação, uma carga de 500 g do minério (- 10 malhas) era moída, em moinhão de barras, a 80% abaixo de 150 malhas, trabalhando-se com uma percentagem de sólidos de 66%. Após a moagem, o produto era levado a uma célula de flotação, tipo Fager-green, e diluído a uma densidade de polpa adequada para o teste.

Nos ensaios efetuados preliminarmente, foram estudados o pH da polpa, diferentes tipos de coletores, espumantes, depressor, e concentração desses reagentes. Dentro deste planejamento básico estabelecido verificou-se, inicialmente, que era dispensável a inclusão de uma operação de deslamagem anterior à flotação. A Figura 8 apresenta um fluxograma esquemático das operações envolvidas nesses ensaios. Nestas operações foram pesquisadas as variáveis mencionadas nas faixas seguintes:

- pH da polpa: 9 - 12
 - coletores Isopropil xantato de potássio
Etil xantato de sódio 80 - 160 g/t
Minerec
Z-200

cont.

- espumantes óleo de pinho Dow Froth 250 200 - 400 g/t
- depressor (silicato de sódio) : 400 - 3000 g/t

Em todos os testes foram mantidos constantantes os seguintes parâmetros:

- granulometria de alimentação: 80% - 150 malhas
- tempo de condicionamento: 10 minutos
- tempo de flotação "rougher": 2 minutos
- tempo de flotação "cleaner": 1 minuto
- % de sólido na polpa, na flotação de desbaste ("rougher")

5.2 - Resultados Obtidos

As tabelas 6, 7 e 8 apresentam os resultados dos ensaios realizados em dois estágios de flotação. Nessas tabelas são apresentadas também as condições em que foram realizados os diversos ensaios.

As tabelas 9, 10 11, 12, 13 e 14 apresentam em detalhe os resultados considerados de melhor qualidade, referentes aos testes que encontram-se assinalados com asterisco nas tabelas 6, 7 e 8.

A tabela 15 apresenta os resultados de um ensaio de flotação sequencial, visando determinar o tempo ótimo de flotação. Utilizou-se no ensaio em questão

cont.

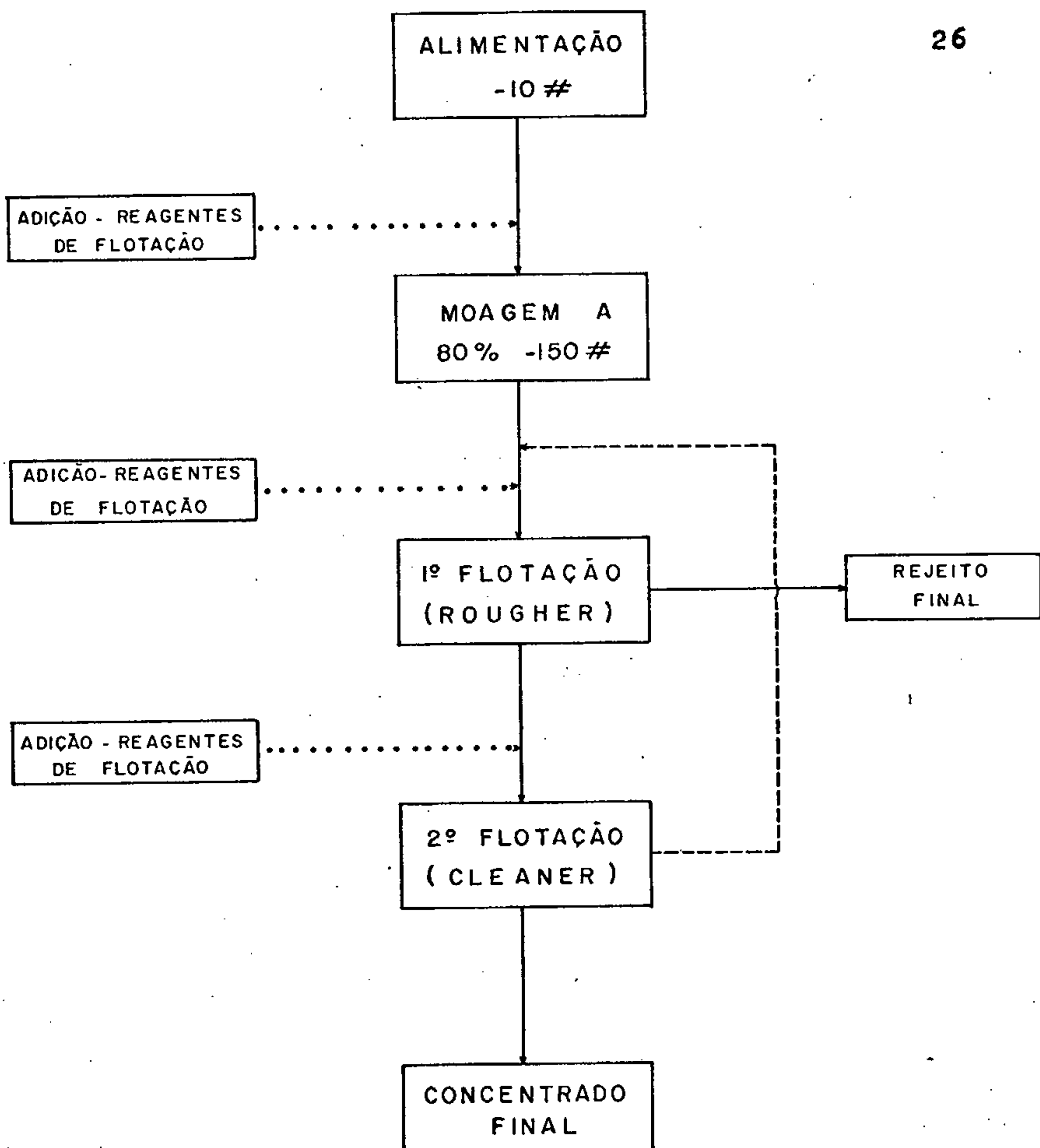


Fig. 8 : Fluxograma da flotação, em 2 estágios

Minerec, Dow Froth e silicato de sódio nas concentrações de 120 g t^{-1} , 300 g t^{-1} , e 2.000 g t^{-1} , respectivamente, sendo o pH = 11. Observa-se que, com um tempo de flotação de 2 minutos, obtém-se um concentrado com um teor razoável de 10.02% Cu e uma recuperação de 67,7%.

Nas mesmas condições acima mencionadas no que se refere à reagentes e suas concentrações, foi realizado ensaio de flotação em três estágios ("rougher", "cleaner" e "recleaner"), de acordo com o fluxograma apresentado na Figura 9. Os resultados obtidos estão apresentados na tabela 16.

5.3 - Conclusões

Pela Tabela 16, observa-se que com uma operação de "Recleaner" foi possível obter-se concentrados com 23,5% Cu, e recuperação de 56%. Considerando-se porém, a recirculação dos mistos, de acordo com o fluxograma da Figura 9, um cálculo aproximado indica que a recuperação poderia atingir 73%, para um concentrado com aquele teor.

Para efeito de apreciação dos teores obtidos deve levar-se em consideração que, dada a composição do minério apresentado nas tabelas 4 e 5, o teor máxi-

cont.

TESTE Nº	REAGENTES DE FLOTAÇÃO (g/t)					pH	CONCENTRADO % Cu	RECUPERAÇÃO %	
	ISOPROPIL XANTATO	ETIL XANTATO	DOW FROTH 250	ÓLEO DE PINHO	Na ₂ SiO ₃			A	B
1	80	-	-	/ 200	400	9,0	4,3	20	-
2	-	80	-	200	400	9,0	4,8	20	-
3	-	160	400	-	2.500	12,5	13,0	56	-
4 *	160	-	400	-	2.500	12,5	17,0	67	64

Tabela 6 - Ensaios de flotação realizados com coletores isopropil xantato de potássio e etil xantato de sódio, em diferentes condições.

OBS: A - Recuperação calculada levando-se em consideração a recirculação dos mistos.

B - Recuperação com base na distribuição do cobre nos produtos obtidos.

TESTE Nº	REAGENTES DE FLOTAÇÃO (g/t)				pH	CONCENTRADO % Cu	RECUPERAÇÃO %	
	Z-200	DOW FROTH 250	ÓLEO DE PINHO	Na ₂ SiO ₃			A	B
1	80	-	200	400	9,0	3,5	18	-
2	100	-	200	400	11,0	6,8	35	-
3	120	-	300	800	11,0	5,5	29	-
4	120	-	300	1200	11,0	5,6	27	-
5	160	200	-	400	11,0	6,6	37	-
6 *	160	400	-	2500	11,4	14,0	63	64
7 *	160	400	-	2500	12,6	18,0	57	64

Tabela 7 - Ensaios de flotação realizados com coletor Z-200, em diferentes condições

OBS: A - Recuperação calculada levando-se em consideração a reciclagem dos mistos.

B - Recuperação com base na distribuição do cobre nos produtos obtidos.

TESTE Nº	REAGENTES DE FLOTAÇÃO (g/t)				pH	% Cu	RECUPERAÇÃO %	
	MINEREC	DOW FROTH 250	ÓLEO DE PINHO	Na ₂ SiO ₃			A	B
1	160	200	-	600	11,0	11,5	56	-
2	120	-	200	600	11,0	6,1	31	-
3 *	120	300	-	1.000	11,0	14,0	67	67
4	120	300	-	2.000	10,0	7,5	61	-
5	160	300	-	3.000	12,0	20,0	59	-
6	160	300	-	2.500	11,3	10,0	59	63
7 *	160	400	-	2.500	12,2	22,0	56	55
8	160	400	-	2.500	12,5	18,0	55	-
9	160	400	-	2.500	11,7	10,0	66	67
10	160	400	-	2.500	12,0	11,8	61	-
11	160	400	-	2.500	12,0	10,0	62	-
12	160	400	-	2.500	11,8	13,0	56	-
13 *	-	400	-	2.500	11,3	16,0	64	64

Tabela 8 - Ensaios de flotação realizados com coletor Minerec, em diferentes condições.

OBS: A - Recuperação calculada levando-se em consideração a recirculação dos mistos.

B - Recuperação com base na distribuição do cobre nos produtos obtidos.

PRODUTOS	PESOS %	TEOR Cu %	RECUPERAÇÃO %		REAGENTES g/t			pH
			PARCIAL	TOTAL	ISOPROPIL XANTATO	DOW FROTH 250	Na ₂ SiO ₃	
CONC. "ROUGHER"	6,30	7,78 *	71,54	-	-	-	-	-
REJ. "ROUGHER"	93,70	0,20	-	-	-	-	-	-
ALIM. "ROUGHER"	100,00	0,66	-	-	120	300	2.000	12,5
	-	-	-	64,23	-	-	-	-
CONC. "CLEANER"	2,59	17,00	89,78	-	-	-	-	-
REJ. "CLEANER"	3,71	1,35	-	-	-	-	-	-
ALIM. "CLEANER"	6,30	7,78 *	-	-	40	100	500	12,4

Tabela 9 - Balanço metalúrgico do teste nº 4 da Tabela 6.

* Valor calculado

PRODUTOS	PESOS %	TEOR Cu %	RECUPERAÇÃO %		REAGENTES g/t			pH
			PARCIAL	TOTAL	Z-200	DOW FROTH 250	Na ₂ SiO ₃	
CONC. "ROUGHER"	6,05	6,99 *	71,75	-	-	-	-	-
REJ. "ROUGHER"	93,94	0,20	-	-	-	-	-	-
ALIM. "ROUGHER"	100,00	0,66	-	-	120	300	2.000	12,5
	-	-	-	63,68	-	-	-	-
CONC. "CLEANER"	2,09	18,00	88,75	-	-	-	-	-
REJ. "CLEANER"	3,97	1,20	-	-	-	-	-	-
ALIM. "CLEANER"	6,06	6,99 *	-	-	40	100	500	12,4

Tabela 10 - Balanço metalúrgico do teste nº 7 da Tabela 7.

* Valor calculado.

PRODUTOS	PESOS %	TEOR Cu %	RECUPERAÇÃO %		REAGENTES g/t			pH
			PARCIAL	TOTAL	Z-200	DOW FROTH 250	Na ₂ SiO ₃	
CONC. "ROUGHER"	7,61	6,21 *	70,57	-	-	-	-	-
REJ. "ROUGHER"	92,39	0,21	-	-	-	-	-	-
ALIM. "ROUGHER"	100,00	0,66	-	-	120	300	2.000	11,4
	-	-	-	63,76	-	-	-	-
CONC. "CLEANER"	3,05	14,00	90,35	-	-	-	-	-
REJ. "CLEANER"	4,56	1,00	-	-	-	-	-	-
ALIM. "CLEANER"	7,61	6,21 *	-	-	40	100	500	11,3

Tabela 11 - Balanço metalúrgico do teste nº 6 da Tabela 7.

* Valor calculado.

PRODUTOS	PESOS %	TEOR Cu %	RECUPERAÇÃO %		REAGENTES g/t			pH
			PARCIAL	TOTAL	MINEREC	DOW FROTH 250	Na ₂ SiO ₃	
CONC. "ROUGHER"	5,09	8,54 *	63,99	-	-	-	-	-
REJ. "ROUGHER"	94,91	0,25	-	-	-	-	-	-
ALIM. "ROUGHER"	100,00	0,66	-	-	120	300	2.000	12,2
	-	-	-	54,73	-	-	-	-
CONC. "CLEANER"	1,69	22,00	85,53	-	-	-	-	-
REJ. "CLEANER"	3,40	1,85	-	-	-	-	-	-
ALIM. "CLEANER"	5,09	8,54 *	-	-	40	100	500	12,3

Tabela 12 - Balanço metalúrgico do teste nº 7 da Tabela 8.

* Valor calculado.

PRODUTOS	PESOS %	TEOR Cu %	RECUPERAÇÃO %		REAGENTES g/t			pH
			PARCIAL	TOTAL	MINEREC	DOW FROTH 250	Na ₂ SiO ₃	
CONC. "ROUGHER"	6,31	7,44 *	70,16	-	-	-	-	-
REJ. "ROUGHER"	93,69	0,21	-	-	-	-	-	-
ALIM. "ROUGHER"	100,00	0,66	-	-	120	200	1.000	11,0
	-	-	-	67,15	-	-	-	-
CONC. "CLEANER"	3,21	14,00	95,71	-	-	-	-	-
REJ. "CLEANER"	3,10	0,65	-	-	-	-	-	-
ALIM. "CLEANER"	6,31	7,44 *	-	-	-	100	-	10,8

Tabela 13 - Balanço metalúrgico do teste nº 3 da Tabela 8.

* Valor calculado.

PRODUTOS	PESOS %	TEOR Cu %	RECUPERAÇÃO %		REAGENTES g/t			pH
			PARCIAL	TOTAL	MINEREC	DOW FROTH 250	Na ₂ SiO ₃	
CONC. "ROUGHER"	10,24	4,81 *	74,14	-	-	-	-	-
REJ. "ROUGHER"	89,76	0,19	-	-	-	-	-	-
ALIM. "ROUGHER"	100,00	0,66	-	-	120	300	2.000	11,3
	-	-	-	63,86	-	-	-	-
CONC. "CLEANER"	2,65	16,00	86,13	-	-	-	-	-
REJ. "CLEANER"	7,59	0,90	-	-	-	-	-	-
ALIM. "CLEANER"	10,24	4,81 *	-	-	40	100	500	12,0

Tabela 14 - Balanço metalúrgico do teste nº 13 da Tabela 8.

* Valor calculado

PRODUTOS	TEMPO DE FLOTAÇÃO (Min)	PESOS %	PESOS ACUM. %	% Cu CONCENTRADO		% REJEITO ACUMULADO		RECUPERAÇÃO %
				PARCIAL	ACUMULADO	PESO	TEOR Cu	
CONCENTRADO 1	0,5	2,03	2,03	18,00	18,00	97,97	0,32 *	53,90
CONCENTRADO 2	1,0	1,24	3,27	5,00	13,07	96,73	0,26 *	63,02
CONCENTRADO 3	2,0	1,33	4,60	2,50	10,02	95,40	0,23 *	67,73
CONCENTRADO 4	4,0	1,68	6,28	1,75	7,80	93,72	0,20	72,45
REJEITO FINAL	-	93,72	100,00	0,20	-	-	-	-
ALIMENTAÇÃO	-	100,00	-	0,68 *	-	-	-	100,00

Tabela 15 - Resultados dos ensaios de flotação sequencial em intervalos de tempo de 1/2, 1, 2 e 4 minutos.

* Valor calculado.

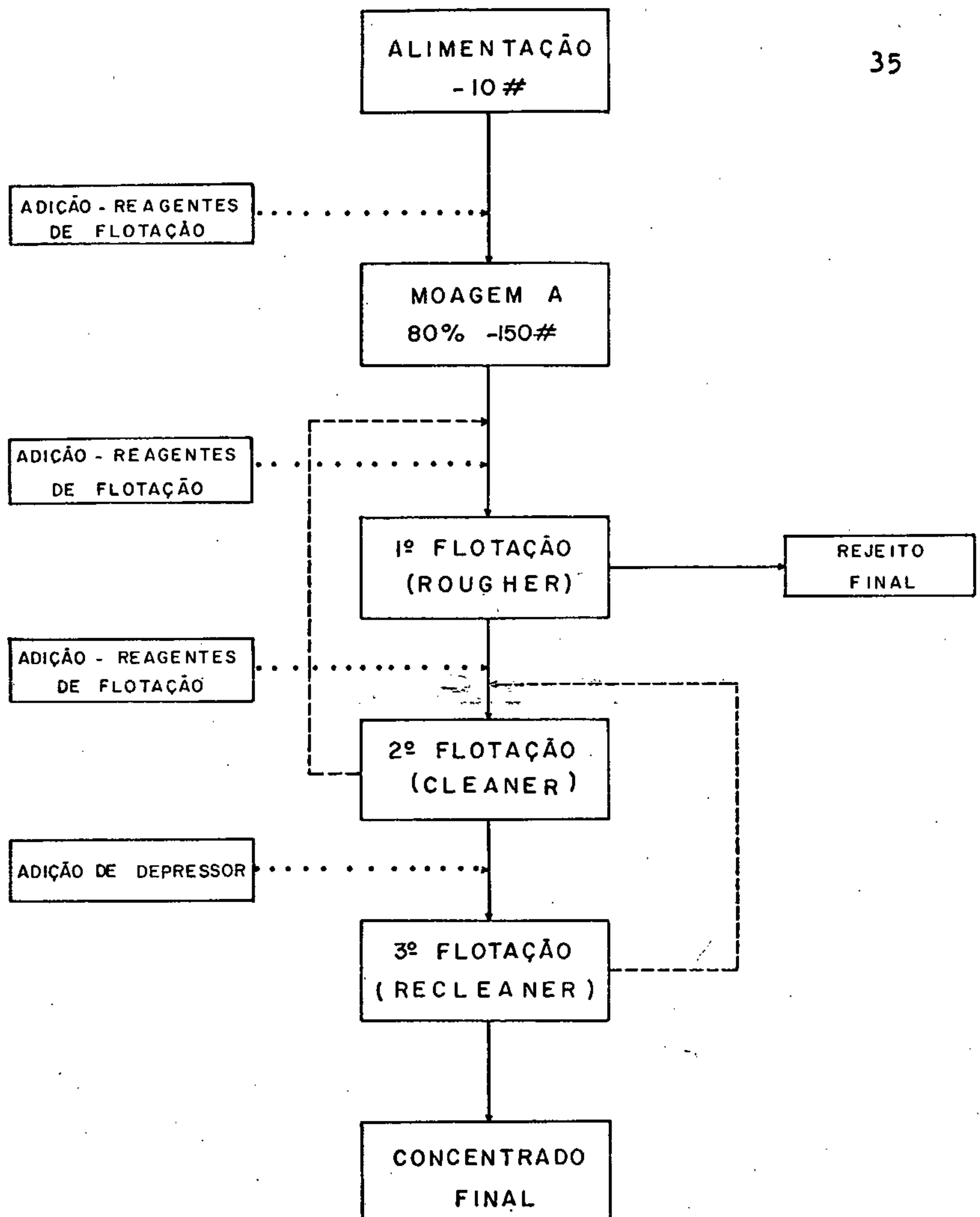


Fig. 9: Fluxograma da flotação dos sulfetos em 3 estágios

PRODUTOS	PESOS %	TEOR Cu %	DISTRIBUIÇÃO Cu %	REC. PARCIAL %
CONC. "ROUGHER"	6,03	8,55 *	74,29	74,11
REJ. "ROUGHER"	93,97	0,19 *	25,71	-
ALIM. "ROUGHER"	100,00	0,69	100,00	-
CONC. "CLEANER"	3,00	16,36 *	70,80	95,30
REJ. "CLEANER"	3,03	0,80	3,49	-
ALIM. "CLEANER"	6,03	8,55	74,29	-
CONC. "RECLEANER"	1,67	23,50	55,86	78,40
REJ. "RECLEANER"	1,33	7,80	14,94	-
ALIM. "RECLEANER"	3,00	16,38	70,80	-

Tabela 16 - Resultados dos ensaios de flotação em três estágios.

* Valor Calculado.

mo teórico possível de obter-se seria de 66,3% Cu, devendo-se este alto valor à presença significativa de bornita e calcocita. Por esta razão, embora o teor da amostra seja relativamente baixo, sua composição mineralógica favorável tornou possível obter-se um concentrado com teor de 23% Cu.

Desta forma, os resultados obtidos referentes ao teor e recuperação podem ser considerados razoáveis no que concerne a viabilidade técnica do tratamento do minério em questão. Com a perspectiva de implantação de um complexo industrial em Caraíbas, não deverá haver dificuldade na comercialização dos produtos com as características dos obtidos nos ensaios realizados.

BIBLIOGRAFIA

1. A. PARFENOFF, C. POMEROL and J. TOURENS - LES MINÉRAUX EN GRAINS, Paris, 1970.
2. E.J.PRYOR - MINERAL PROCESSING, London, 1965.
3. K.L. SUTHERLAND and I. W. WARK - PRINCIPLES OF FLOTATION, Melbourne, 1955.
4. FROTH FLOTATION - 50TH ANNIVERSARY VOLUME, AIME, New York, 1962.
5. A.M. GAUDIN - FLOTATION, New York, 1957.
6. ARTHUR F. TAGGART, HANDBOOK OF MINERAL DRESSING, New York.